

§ 1 Топологическая теорема Хелли

1

Для начала вспомним (обычную) теорему Хелли; она следует из (обычной) т. Радона.

Т. Хелли Пусть $A_1, \dots, A_{d+2} \subset \mathbb{R}^d$ - выпуклые,

и такие, что

$$\forall i=1, \dots, d+2 \quad \bigcap_{j \neq i} A_j \neq \emptyset.$$

$$\text{Тогда} \quad \bigcap_{j=1}^{d+2} A_j \neq \emptyset.$$

т. Радона -1 для всякого $X = \{x_1, \dots, x_{d+2}\} \subset \mathbb{R}^d$ существует разбиение (= представление в виде объединения непересекающихся подмножеств)

$$X = X_1 \cup X_2 \quad \text{такое, что}$$

$$\text{Conv}(X_1) \cap \text{Conv}(X_2) \neq \emptyset.$$

Примечание: Conv - выпуклая оболочка, от слова "convex".

Теорема Радона доказывается в две строчки методами линейной алгебры.

Теорема Рагона влѣгѣт Т. Хелли;
приведем доказательство для $d=2$.

Оно обобщается на бѣльшие размерности
без дополнительных условий.

Итак, пусть $A_1, \dots, A_4 \subset \mathbb{R}^2$, все тройные
пересечения непусты.

Рассмотрим

$$x_1 \in A_2 \cap A_3 \cap A_4,$$

$$x_2 \in A_1 \cap A_3 \cap A_4$$

$$x_3 \in A_1 \cap A_2 \cap A_4$$

$$x_4 \in A_1 \cap A_2 \cap A_3,$$

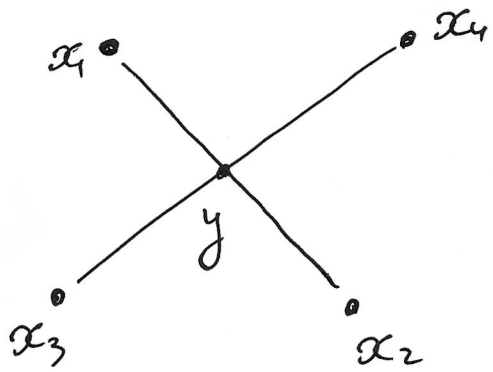
$$X = \{x_1, \dots, x_4\}$$

Применим Т. Рагона к X . $X = X_1 \cup X_2$.

Покажем, что $\text{Conv}(X_1) \cap \text{Conv}(X_2) \subset A_1 \cap \dots \cap A_4$.

~~Для этого рассмотрим пример:~~

Пример:



$$y \in \text{отрезку } x_1x_2 \Rightarrow y \in A_{3,4}$$

$$y \in \text{отрезку } x_3x_4 \Rightarrow y \in A_{1,2}$$

~~Однако следует: $X \cap A$~~

Наша ближайшая цель :

3

- сформулировать и доказать топологическую т. Радона
- вывести из неё топологическую т. Хелли, подражая схеме доказательства общей т. Хелли.

Топологическая т. Радона.

Заметим вначале, что т. Радона может быть переформулирована так:

Т. Радона-2 (эквив. формулировка)

\forall линейного $f: \Delta^{d+1} \rightarrow \mathbb{R}^d$

найдутся две непересекающиеся грани F и G симплекса Δ^{d+1} такие, что

$$f(F) \cap f(G) \neq \emptyset.$$

Отступление о симплексе:

Возьмем $d+2$ точки в \mathbb{R}^d в общем положении (= не укладывающиеся ни в какую гиперплоскость).

Их выпуклая оболочка называется d -мерным симплексом и обозначается Δ^d .

Этап Задача. Всякое подмножество вершин Δ^d

Δ^d задаёт некоторую граф Δ^d .

(4)

Задача Любые два симплекса аффинно эквивалентны

(конечного отступления)

(это про равносильность формулировок)

Действительно, всякая конфигурация $X = \{x_1, \dots, x_{d+2}\}$ представима в виде линейного образа множества вершин Δ^{d+1} . При этом образы графов суть выпуклые оболочки образов вершин.

Теперь ослабим формулировку Т. Рагона-2:

Топологическая Т. Рагона

В непрерывного $f: \Delta^{d+1} \rightarrow \mathbb{R}^d$

найдутся две непересекающиеся грани Δ^{d+1} , образы которых пересекаются.

Для доказательства этой теоремы нам понадобятся

- Т. Борсука-Улама
- Пермутация

Теорема Борсука-Улама

(5)

∀ непрерывного $\varphi: S^n \rightarrow \mathbb{R}^n$

∃ $x \in S^n$: $\varphi(x) = \varphi(-x)$.

(доказательство появится позже)

~~Мы~~ Мы можем посмотреть на топ. Т. Радона

с точки зрения т. Б.-У:

топ. Т. Радона тоже про отображение из сферы в евклидово пространство:

$$f: \partial \Delta^{d+1} \rightarrow \mathbb{R}^d$$

" S^d

Однако $\partial \Delta^{d+1}$ несимметрична, и на ней нет инволюции. Кроме того, у $\partial \Delta^{d+1}$ есть структура графа, которая не участвует в т. Б.-У.


Поэтому прежде всего, "сделаем симплекс Δ^{d+1} симметричным".

Для этого пригодится пермутатр.

Пермутаэдр

(6)

$$\Pi_n := \text{Conv} \{ \sigma(1, \dots, n) \mid \sigma \in \mathcal{S}_n \} \subset \mathbb{R}^n$$

Пример 1: $n=3$ 

Пример 2: $n=4$ (скачайте картинку из интернета; усеченный октаэдр)

Теорема

- Π_n - многогранник размерности $n-1$
- все точки $\sigma(1, \dots, n)$ - вершины Π_n
- грани Π_n ~~состоятся~~ нумеруются линейно упорядоченными разбиениями $\{1, \dots, n\}$ на непустые подмножества.

Поясняющий пример: Пусть $n=6$.

Для Π_6 определим, грань многогранника с внешней нормалью $\vec{\xi} \in \mathbb{R}^n$ есть подмножество многогранника, на котором достигается максимум скалярного произведения $\langle \vec{\xi}, \cdot \rangle$.

Возьмем $\vec{\xi} = (1, 1, 1, 2, 2, 3)$

Максимум достигается на следующих вершинах Π_6 :

(1 2 3 4 5 6) (1 3 2 4 5 6) (3 2 1 4 5 6)

(1 2 3 5 4 6) (1 3 2 5 4 6) . . .

их всего $6 \cdot 2 = 12$ штук.

Задача: докажите, что Π_n центрально симметричен

Нам пригодится альтернативная конструкция пермьюэдра Π_n :

- Возьмем симплекс Δ^{n-1} ,
 - отреем все его вершинки,
 - отреем все рёбра,
 - отреем все двумерные грани
 - и т.п.

Полученный "обрезанный" симплекс комбинаторно эквивалентен Π_n .

(Более того, если ~~от~~ стартовая с правильного симплекса, и отрезая определённым метрическим образом, мы получим в точности Π_n). Но это нам не надо.

Примечание: мы отрезаем только "старые" грани Δ^{n-1} . При усечении образуются новые грани, рёбра, вершинки: их мы не отрезаем.

Пример Убедитесь, что при ^{таком} обрезании трехмерного симплекса Δ^3 получается Π_4 , то есть, усечённый октаэдр.

Докажем это, расставив вначале метки на Δ^{n-1} . (5)

Шаг 1. Занумеруем вершины Δ^{n-1} числами $1, \dots, n$.
 На каждой вершине Δ^{n-1} поставим метку $\{i\}$, где i - номер вершины.

Шаг 2. На каждой грани Δ^{n-1} поставим метку "множество индексов вершин этой грани".
 (рис. 1. а)

Шаг 3 Дополним метки, см. рис. 1. б.

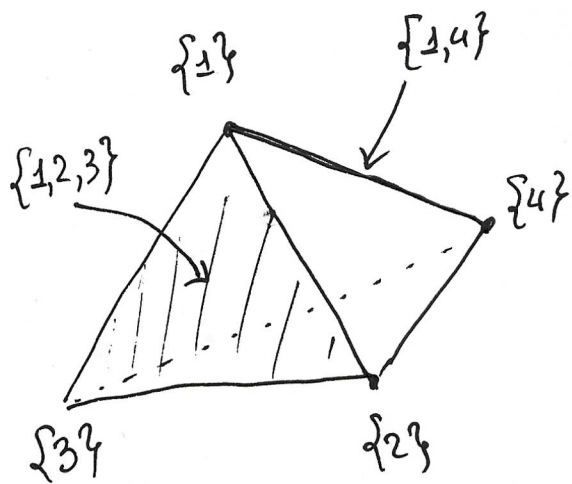


рис. 1, а

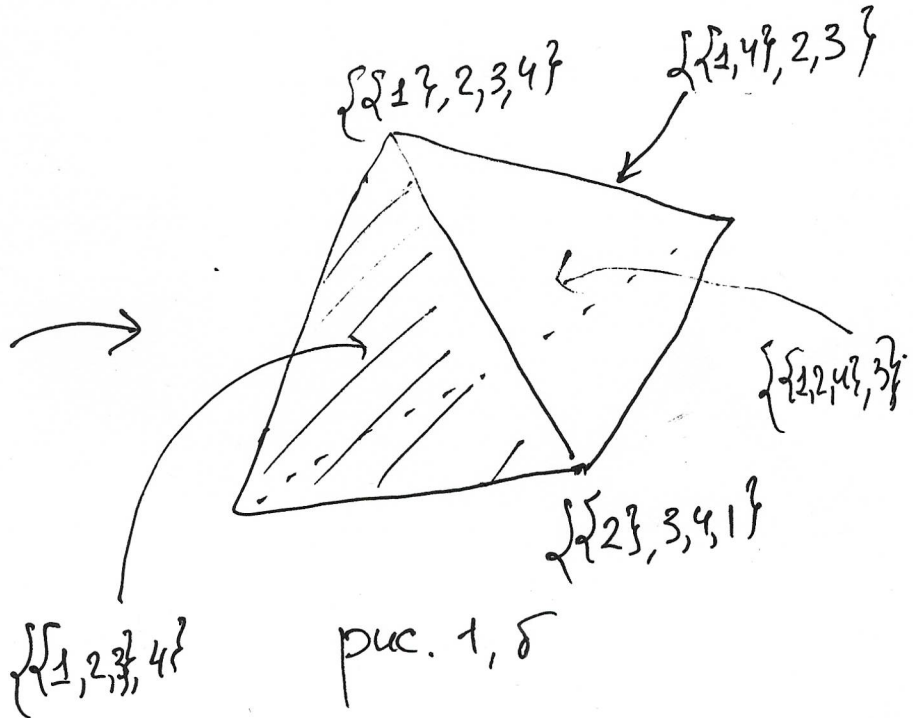


рис. 1, б

Теперь будем по очереди отрезать грани, начиная с меньших размерностей.

При каждом отрезании образуются новые грани. Поставим на новые грани метки,

по следующему правилу:

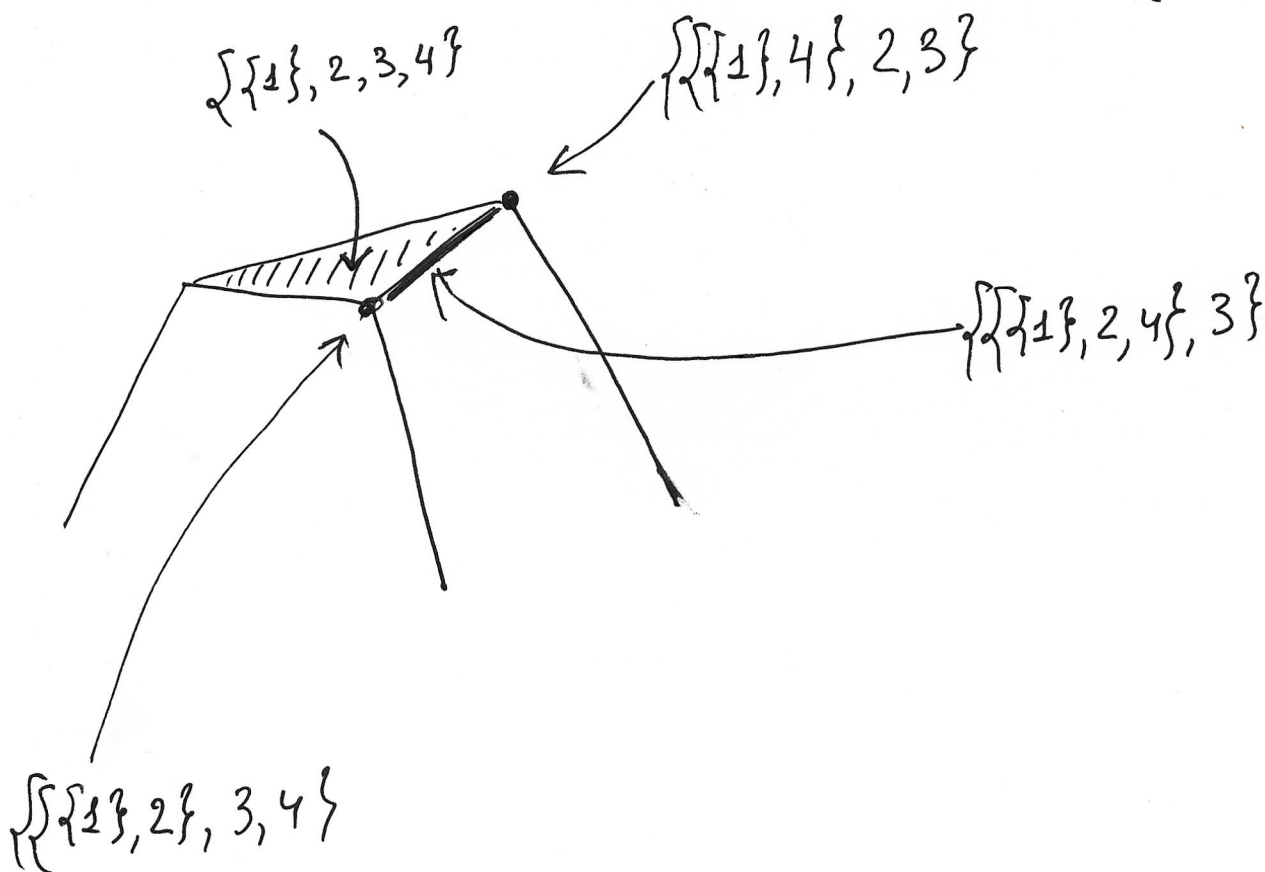
(9)

Пусть отрезается грань F
с помощью гиперплоскости h_F .

Каждая новая грань есть пересечение
 $h_F \cap G$.

Поставим на ней суперпозицию меток граней
 F и G .

Пример: отрезает вершину 1 (её метка
 $\{\{1\}, 2, 3, 4\}$)



Задача Убедитесь (в размерности 3),
что после отрезания всех вершин и
рёбер у Δ^3 в качестве меток граней
будут получены все возможные комбинации

объект типа

$$U_1 \subsetneq U_2 \subsetneq \dots \subsetneq U_k = \{1, \dots, n\}$$

Заметим, что по каждому объекту такого типа можно построить линейно упорядоченное разбиение $\{1, \dots, n\} = V_1 \sqcup V_2 \sqcup \dots \sqcup V_k$

где $V_1 = U_1$, $V_2 = U_2 \setminus U_1$, и т.п.

Иными словами, метки краев пермутаэдра и метки краев обрезанного симплекса совпадают.

(Здесь П.Ю. обязуете читать лекцию про чистотности)

—
Какая польза нам от пермутаэдра? Раз Π_n получается обрезанием симплекса Δ^{n-1} , то на Δ^n можно смотреть как на Π_n "со стянутыми краями".

Формализуем это так:

Существует естественное непрерывное отображение

$$\pi: \Pi_n \rightarrow \Delta^{n-1},$$

- переводящее грани Π_n в грани Δ^{n-1}
- такое, что $\forall x \in \partial \Pi_n$ $\pi(x)$ и $\pi(-x)$ лежат в дизъюнктных гранях.

Понять, как устроено π , можно, отрезая по одной грани 3а раз, и глядя на рисунок:

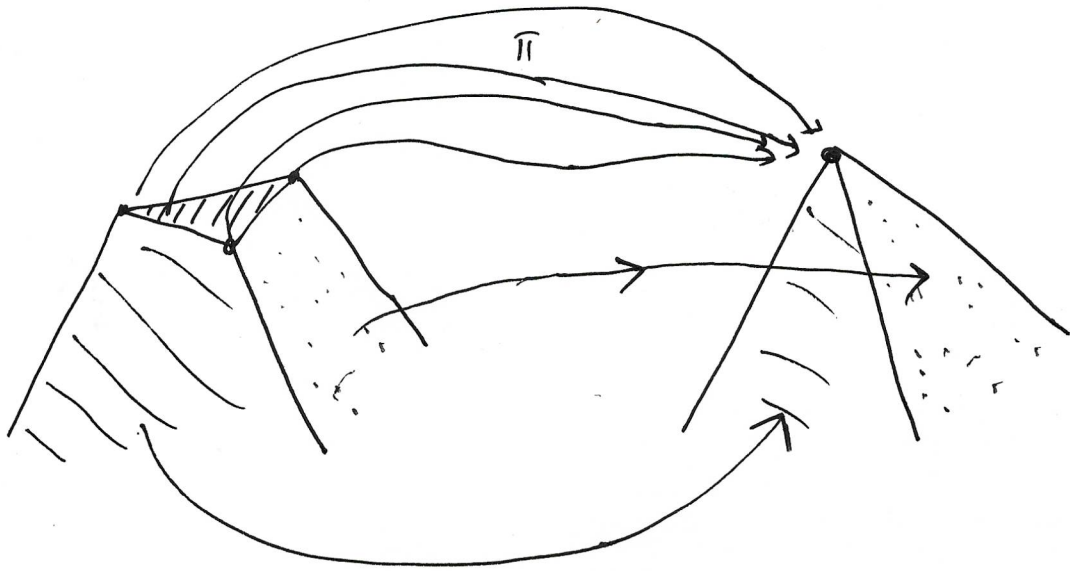


рис. 2

Теперь мы можем доказать топологически Теорему Рагона:

Пусть $f: \Delta^{d+1} \rightarrow \mathbb{R}^d$ - непрерывное отображение.

рассмотрим

$$\begin{array}{ccc} \partial \Pi_{d+2} & \xrightarrow{\pi} & \partial \Delta^{d+1} \xrightarrow{f} \mathbb{R}^d \\ & & \uparrow \\ & & \psi \end{array}$$

Рассмотрим $\psi = f \circ \pi$ - непрерывное отображение, к которому уже можно применить теорему Борсука-Улама.

Существует $x \in \partial \Pi_{n+1}$ такое, что

$$\varphi(x) = \varphi(-x).$$

(12)

Возьмем $\bar{\pi}(x)$ и $\bar{\pi}(-x) \in \partial \Delta^{n+1}$.
Эти две точки лежат в непересекающихся гранях,
и $f(\bar{\pi}(x)) = f(\bar{\pi}(-x))$. \blacksquare

Сформулируем и докажем теперь топологическую теорему Хелли.

М Пусть $A_1, \dots, A_{d+2} \subset \mathbb{R}^d$ - стягиваемые множества, при этом

$\forall I \subset \{1, \dots, d+2\}$
 $\neq \emptyset \quad \bigcap_{i \in I} A_i$ - непусто и стягиваемо.

Тогда $\bigcap_{i=1}^{d+2} A_i \neq \emptyset$.

Доказательство. Как и в вонуклом случае, выберем по точке

$$x_i \in \bigcap_{j \neq i} A_j.$$

Построим непрерывное отображение

$f: \Delta^{d+1} \rightarrow \mathbb{R}^d$, для которого потом

применим ТТ Радна.

(13)

Отображение f будет строиться постепенно, начиная с вершин, продолжая затем на рёбра, потом на двумерные грани, и т.д.

Шаг 0 Зададим f на вершинах:

$$f(\text{вершина } i) := x_i.$$

Шаг 1 Зададим f на рёбрах так, чтобы

$$\forall k \neq i, j \quad f(ij) \in A_k.$$

Это возможно сделать, так как $\bigcap_{\substack{k \neq i \\ k \neq j}} A_k$

стягиваемо, его связно.

Шаг 2 Зададим f на двумерных гранях Δ^{d_H}

так, чтобы

$$\forall t \notin \{i, j, k\} \quad f(ijk) \in \bigcap_{t \notin \{i, j, k\}} A_t$$

Это возможно сделать, так как это множество односвязно.

Примеракине. мы пользуемся следующим фактом: пусть X стягиваемо.

Тогда всякое непрерывное отображение

$$\varphi: S^k = \partial B^{k+1} \rightarrow X$$

продолжается до отображения $B^{k+1} \rightarrow X$.

(Такое свойство X называется k -связностью. Эквивалентно,

Y k -связного пространства обкрутает k -я гомотопическая группа: $\pi_k(X) = 0$.)

В конце коучев мы получим отображение

$$f: \partial \Delta^{d+1} \rightarrow \mathbb{R}^d \text{ такое, что } \forall I \subseteq \{1, \dots, d+2\}$$

$$f(I) \subset \bigcap_{i \in I} A_i. \quad (*)$$

Пусть F и G - две дизъюнктные грани, образ которых не пересекаются.

Задача проверьте, что $(*)$ влечёт:

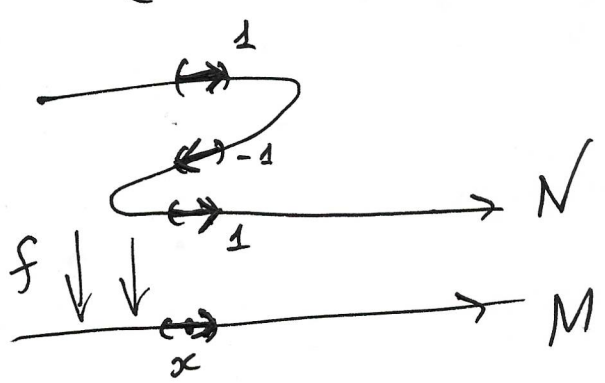
$$x \in f(F) \cap f(G) \Rightarrow x \in \bigcap_{i=1}^{d+1} A_i$$

Степень отображения

Пусть N^n и M^n - ориентированные n -мерные замкнутые связные многообразия (примечание: если читателю не знаком с понятием "многообразие", думайте, что это сферы: $N^n = S^n$, $M^n = S^n$)

Пусть $f: N^n \rightarrow M^n$ - непрерывное "хорошее" (гладкое или кусочно-линейное) отображение.

Тогда для почти всех $x \in M^n$ у x есть окрестность $U \subset M^n$ такая, что $f^{-1}(U)$ есть конечные объединенные копии U :



Число этих копий с учетом ориентации называется степенью отображения f и обозначается $\deg f$.

Утверждение:

- определение корректно, то есть, $\deg f$ не зависит от выбора точки x
- $\deg f$ не меняется при непрерывной деформации f .

Пример 1

$$f: S^1 \rightarrow S^1$$

$$\psi \rightarrow k\psi$$

$$\alpha \rightarrow k\alpha$$

$$\deg f = k$$

(у каждой точки прообраз состоит из k элементов)

Пример 2

$$f: \mathbb{C}P^1 \rightarrow \mathbb{C}P^1,$$

~~f — полином степени n~~ и $f := z^n$

($\mathbb{C}P^1 := \mathbb{C} \cup \{\infty\}$ — сфера Римана)

тогда $\deg f = n$.

Действительно, возьмём в качестве x
~~очень большое по модулю комплексное~~
 произвольное ненулевое (и не равное ∞)
 комплексное число.

Степень отображения многообразий с краем.

16'

Пусть $f: M^n \rightarrow N^n$, где M^n, N^n - ориентированные связные многообразия с краем (для понимания достаточно представлять $M^n = B^n$ - шар; его край - сфера S^{n-1})

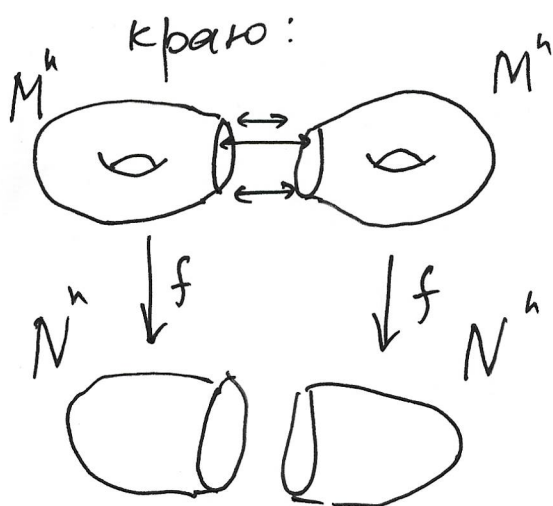
Если попробовать дословно повторить определение, утратится корректность. (задача! проверьте!)

Поэтому попросим дополнительно:

$$f(\partial M^n) \subset \partial N^n.$$

Тогда определение $\deg f$ становится корректным.

Действительно, многообразие с краем можно удвоить, склеив две копии по



При этом верен уже менее очевидный факт:

Лемма $\deg f =$

$$= \deg f|_{\partial M^n}.$$

Докажем теорему Борсука-Улама,
используя степень отображения.

(17)

Упражнение Покажите равносильность
следующих утверждений:

(1) (теорема Б-У)

\forall непрерывного
отображение $f: S^n \rightarrow \mathbb{R}^n$

$\exists x \in S^n : f(x) = f(-x)$

(2) \forall нечётного
(антиподального) $g: S^n \rightarrow \mathbb{R}^n$

$\exists x \in S^n : g(x) = 0$.

Примечание: отображение g называется
нечётным, или антиподальным, если

$$\forall x \quad g(-x) = -g(x)$$

(3) Не существует антиподального
отображения

$$h: S^n \rightarrow S^{n-1}$$

Упражнение: Найдите какое-нибудь
антиподальное $h: S^n \rightarrow S^n$ степени 1.

степени 3.

(18)

Лемма о степени антиподального отображения

Пусть $h: S^n \rightarrow S^n$ антиподально.

Тогда $\deg h \equiv 1 \pmod{2}$.

Покажем, что лемма влечёт утверждение (3), равносильное Б-У.

Действительно, пусть лемма справедлива, но тем не менее, найдётся антиподальное

$$h: S^n \rightarrow S^{n-1}.$$

Вложим $S^{n-1} \hookrightarrow S^n$ в виде "экватора".

Получим антиподальное отображение

$$S^n \xrightarrow{h} S^{n-1} \hookrightarrow S^n,$$

степень которого равна нулю. Противоречие.

Теперь докажем лемму о степени.

Пусть $h: S^n \rightarrow S^n$ - антиподальное отображение.

Вложим $S^n \hookrightarrow \mathbb{R}^{n+1}$, и рассмотрим $\bar{h}: S^n \rightarrow \mathbb{R}^{n+1}$

$$\begin{array}{c} S^n \xrightarrow{h} S^n \hookrightarrow \mathbb{R}^{n+1} \\ \downarrow \quad \quad \quad \uparrow \\ \quad \quad \quad \bar{h} \end{array}$$

Заметим, что $\text{id}: S^n \rightarrow S^n$ — тоже
антиподальное отображение, причём
 $\deg \text{id} = 1$.

Имеем $\bar{h}, \text{id}: S^n \rightarrow \mathbb{R}^{n+1}$.

Соединим \bar{h} и id линейной гомотопией:
для $\lambda \in [0, 1]$ рассмотрим

$$\varphi_\lambda := \lambda \bar{h} + (1-\lambda) \text{id} : S^n \rightarrow \mathbb{R}^{n+1}$$

Если $\text{Im } \varphi_\lambda$ не содержит 0, то
можно говорить о

$$\tilde{\varphi}_\lambda : S^n \rightarrow S^n,$$

$$\tilde{\varphi}_\lambda(x) := \frac{\varphi_\lambda(x)}{|\varphi_\lambda(x)|} \quad \text{При этом } \tilde{\varphi}_0 \equiv \text{id} \\ \tilde{\varphi}_1 \equiv \bar{h}.$$

Это отображение меняет свою степень
только когда $\tilde{\varphi}_\lambda$ заезжает в 0.

В силу антиподальности, нули $\tilde{\varphi}_\lambda$
разбиваются на пары антиподов.
Следовательно, степень $\deg \tilde{\varphi}_\lambda$ меняется
каждый раз на чётное число.

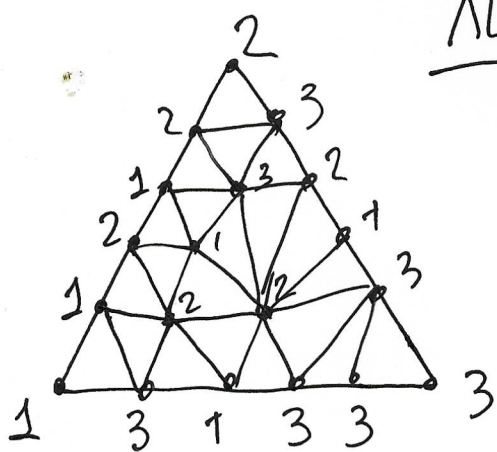
Поскольку $\deg \tilde{\varphi}_0 = \deg \text{id} = 1$,

то $\deg \tilde{\varphi}_1 = \deg h$ неётно.

(20)

§2 Деление без зависти

Прежде чем перейти к делению без зависти, докажем с помощью степени отображения и лемму Шпернера, которая служит "агрушевой вершиной" деления без зависти.



ЛШ

Пусть вершины триангуляции симплекса Δ^n раскрашены

в $n+1$ цвет так, что

на грани $I \subset \{1, \dots, n+1\}$

присутствуют только цвета из I , см. рис.

Тогда найдётся симплекс триангуляции разного цвета ("радушный симплекс").

Док-во: Устроим отображение $f: \Delta^n \rightarrow \Delta^n$,

устроенное так:

• вершина цвета i переходит в вершину i симплекса Δ^n

• на каждом симплексе триангуляции отображение f линейно.

f обладает следующими свойствами:

(21)

- $f(\partial \Delta^n) \subset \partial \Delta^n$

- Пусть $n=2$. $\deg f|_{\partial \Delta^2} = 1$.

- Следовательно (см. Лемма) $\deg f|_{\Delta^2} = 1$.

- По индукции можно доказать, что $\deg f = 1$ для произвольного n .

Следовательно, у точки внутри Δ^n прообраз не пуст. Но на весь симплекс Δ^n отображаются лишь радужные симплексы. \square

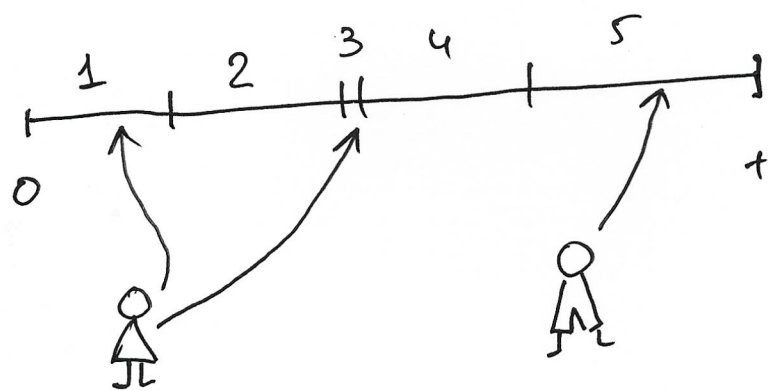
Замечание. Мы доказали, что число радужных симплексов нечётно.

n гостей делят праздничный пирог.

Пирог := отрезок $I = [0, 1]$,

делят его $(n-1)$ разрезом. При этом образуются n "кусков", которые естественно нумеруются слева направо. Куски могут быть вырожденными, то есть, представленными отрезками длины 0.

Как только разрез произведён, каждый гость указывает на "свой предпочитаемый кусок", или несколько предпочитаемых кусков.



Предпочтения
(как в жизни)
зависят от
разреза.

~~Мы~~ Мы добились деления без зависти, если смогли разрезать так, что после разрезания возможно раздать куски гостям так, что каждый гость получил предпочитаемый кусок.

Теорема Зейля о делении без зависти

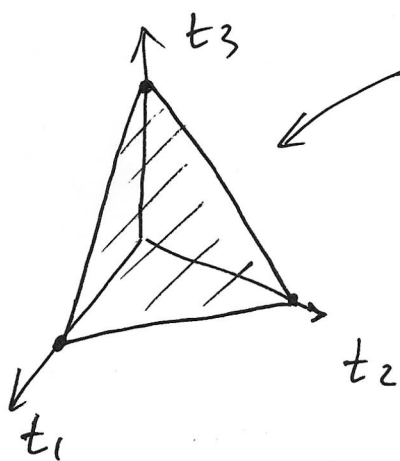
Если • предположения замкнуты,
• и никто из гостей не предполагает
врожденный кусок,
то существует деление без зависти.

Прежде всего придадим точный смысл этим
словам.

Каждому разрезу поставим в соответствие
числа (t_1, \dots, t_n) , где t_i — длина куска N^i .

Очевидно, $t_i \geq 0$ и $\sum_{i=1}^n t_i = 1$. ← Эти условия
задают стандартный симплекс Δ^{n-1}

Иными словами, разрезы
соответствуют точкам стандартного симплекса.



стандартный
симплекс Δ^2

Заметим, что
границы Δ^{n-1}
соответствуют

вырождению кусков.

Например, на грани,
лежащей напротив стороны i ,
лежат точки, соответствующие
разрезу, в которых вырождается кусок i .

опр предположение игрока N^j :

24

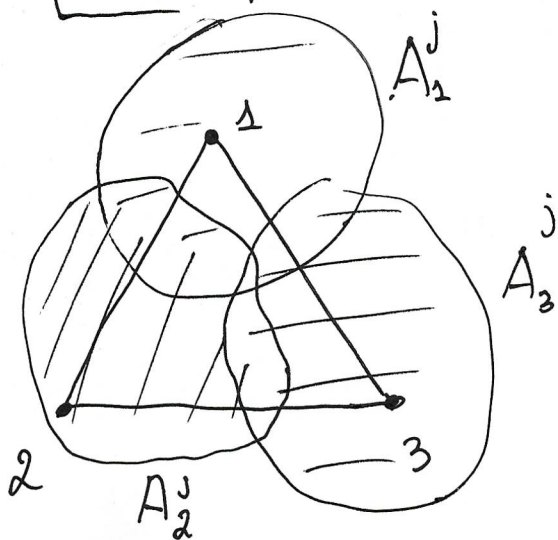
$$A_i^j \subset \Delta^{n-1}$$

Смысл: $x \in A_i^j \stackrel{\text{def}}{\Leftrightarrow}$ при разрезе x
игрок j предполагает кусок N^i

замкнутость предположений $\stackrel{\text{def}}{=} \text{замкнутость } A_i^j$

Никто не предполагает вырожденный кусок \Leftrightarrow

A_i^j не пересекает грань Δ^{n-1} , лежащую
напротив вершины i .



Теорема Зейла
нам говорит:

$$\exists x \in \Delta^{n-1},$$

$\exists \sigma \in \mathcal{J}_n$ такие, что

$$x \in A_{\sigma(j)}^j$$

Посмотрим, как выглядит
т. Гейла в случае, когда у всех
гостей одинаковые предпочтения, т.е. $A_i^j = A_i$,
не зависит от j .

Имеем:

m Кластера - Куратовского - Мазуркевича

Δ^{n-1} покрыт замкнутыми A_1, \dots, A_n .

при этом A_i не пересекает грань,
лежащую напротив вершины i .

Тогда $A_1 \cap \dots \cap A_n \neq \emptyset$.

Задача Покажите, что ККМ влечёт лемму
Шпернера.

Многогранник Биркгофа

26

Матрица $n \times n$ (a_{ij}) называется двухсторонне стохастической,

если $\bullet \forall i \sum_j a_{ij} = 1$

$\bullet \forall j \sum_i a_{ij} = 1$

$\bullet a_{ij} \geq 0$

Эти условия задают некоторый выпуклый многогранник - мк-к Биркгофа, или двухсторонне стохастическую матрицу B_n .

Пример каждой перестановке $\sigma \in S_n$ можно сопоставить 0-1 двухсторонне стох. матрицу:

$$a_{i\sigma(i)} = 1, \text{ иначе } a_{ij} = 0.$$

Ex:

$$\begin{pmatrix} 0 & 1 & 0 \\ 1 & 0 & 0 \\ 0 & 0 & 1 \end{pmatrix} = M_\sigma$$

Задача

(27)

Вершинами V_n являются 0-1 матрицы M_n .

Задача Найдите размерность мин-кв V_n (т.е. размерность минимального аффинного пространства, содержащего V_n).

Задача Постройте линейное отображение из V_n , образом которого является пермутатор Π_n .